

ВЫСОКОМОЛЕКУЛЯРНЫЕ

Том (4) XI

СОЕДИНЕНИЯ

№ 6

1969

УДК 66.095.26:678.84

О ПОЛИМЕРИЗАЦИИ КРЕМНИЙОРГАНИЧЕСКИХ ЦИКЛИЧЕСКИХ СОЕДИНЕНИЙ

К. А. Андрианов

Химия циклических кремнийорганических соединений получила широкое развитие.

Интерес к этой области кремнийорганической химии связан с исключительно широкими синтетическими возможностями и исследованием структуры и свойств циклических систем. Высокая реакционная способность циклов к различным перегруппировкам и полимеризации открывает неограниченные возможности для синтеза и изучения макромолекул элементоорганических соединений. Реакция полимеризации циклических кремнийорганических соединений преобретает большой теоретический и практический интерес также и потому, что это один из важнейших путей синтеза олигомеров и высокомолекулярных соединений с неорганическими и органонеорганическими цепями молекул. В данной статье нет возможности рассмотреть и ознакомить читателей с широкими исследованиями, проводимыми в этой области кремнийорганической химии, поэтому я ограничу ее рассмотрением реакции перегруппировок и полимеризации на примерах представителей двух классов циклических соединений: органоцикlosилоксанах и органоцикlosилазанах.

Полимеризация органоцикlosилоксанов

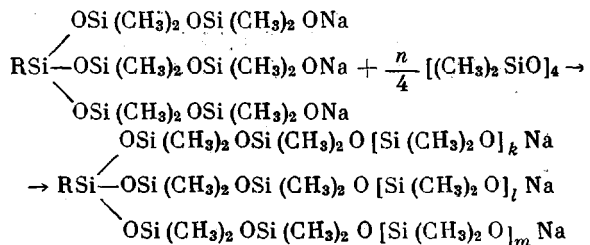
В ряде работ была изучена полимеризация гексаметилциклотрисилоксана и октаметилциклотетрасилоксана (ОМЦТС) в присутствии анионных катализаторов [1—3]. Здесь рассматривается полимеризация ОМЦТС с многоцентровыми инициаторами полимеризации, а также полимеризация смешанных алкил(арил)цикlosилоксанов и полициклических соединений.

Реакция анионной полимеризации ОМЦТС была осуществлена при действии одно-, ди-, три- и тетрацентровых катализаторов полимеризации общей формулы: $\text{NaO}[\text{Si}(\text{CH}_3)_2\text{O}]_n\text{Na}$, где $n = 2, 4, 8$; $\text{RSi}[\text{OSi}(\text{CH}_3)_2\text{OSi} \cdot (\text{CH}_3)_2\text{O}\text{Na}]_3$ и $\text{Si}[\text{OSi}(\text{CH}_3)_2\text{OSi}(\text{CH}_3)_2\text{O}\text{Na}]_4$ и NaOH .

Изучение кинетики реакции полимеризации показало, что во всех случаях полимеризация протекает по механизму реакции первого порядка относительно мономера, независимо от функциональности взятого инициатора. Это указывает на то, что реакция протекает по каждому из реакционных центров многоцентрового инициатора независимо от остальных центров. При изучении кинетики полимеризации ОМЦТС в диапазоне температур 130—160° в присутствии двухцентровых инициаторов различной длины динатриевых солей общей формулы $\text{NaO}[\text{Si}(\text{CH}_3)_2\text{O}]_n - \text{Na}$, где $n = 2, 4, 8$, было найдено, что константы скорости полимеризации практически одинаковы, что также указывает на независимую полимеризацию по каждой из имеющихся концевых SiONa -групп. На рис. 1 приведена графическая зависимость $\lg k - 1/T$, из которой были рассчитаны значения энергии активации полимеризации ОМЦТС в присутствии двух-

центровых инициаторов. Величина $E_{акт}$ составляет во всех случаях $\approx 25,5$ ккал/моль.

При полимеризации ОМЦТС в присутствии трехцентровых катализаторов $RSi[OSi(CH_3)_2OSi(CH_3)_2ONa]_3$ следовало ожидать, что полимеризация будет протекать по следующей схеме:



Как видно из схемы реакции, в молекуле инициатора имеется несколько активных центров $\equiv SiONa$, каждый из которых дает начало росту полимерной цепи. Полимеризация происходит путем ступенчатого присое-

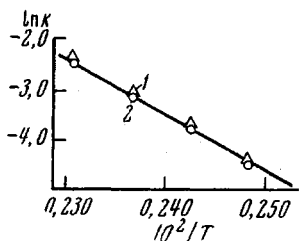


Рис. 1. Полимеризация октаметилциклотетрасилоксана в присутствии $NaO[Si(CH_3)_2O]_nNa$ при n , равном 2 (1) и 4 (2)

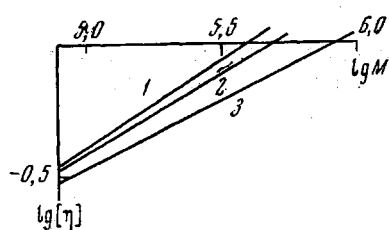
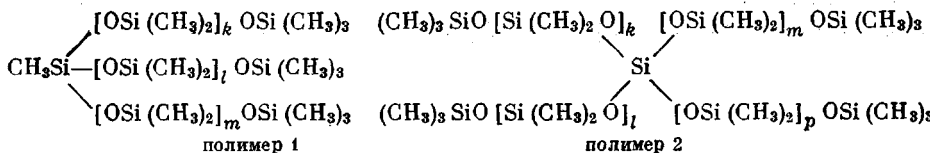


Рис. 2. Зависимость $lg [\eta] - lg M$:
1 — линейный полимер; 2, 3 — разветвленные полимеры с трех- и четырехфункциональными центрами ветвлений, соответственно

динения молекул ОМЦТС по каждой из концевых групп $\equiv SiONa$ полимерных цепей, каждая из которых растет независимо. Рост макромолекул идет одновременно в трех направлениях (по количеству активных центров в молекуле исходного инициатора). Образующиеся в результате полимеризации макромолекулы должны иметь один центр ветвления.

С целью исследования строения образующихся полимеров были синтезированы полидиметилсилоксаны разветвленного строения с трифункциональным (полимер 1) и четырехфункциональным (полимер 2) центрами ветвлений. Строение полученных полимеров схематически можно изобразить следующим образом:



Указанные полимеры были подвергнуты фракционированию методом хроматографического осаждения; полученные фракции исследовали методом вискозиметрии, светорассеяния и седиментации в ультрацентрифуге. Для каждой из полученной фракций были определены ее характеристическая вязкость и молекулярный вес. На основании полученных данных были определены константы K и a в уравнении Марка — Кунна — Хаувинка $\eta = K \cdot M^a$.

Уравнения имеют вид: $\eta = 2,39 \cdot M^{0,64}$ (полимер 1) и $\eta = 6,45 \cdot M^{0,54}$ (полимер 2) (измерения проводили в толуоле при 20°).

На рис. 2 в логарифмических координатах приведена зависимость $[\eta] = KM^a$ для разветвленного полимера (кривая 2). Там же для сравнения нанесена аналогичная зависимость и для линейного полиметилсилоксана (кривая 1). Вязкость разветвленных полидиметилсилоксанов ниже вязкости линейного полиметилсилоксана того же молекулярного веса. Исходя из современной теории вязкости разветвленных полимеров Зимма и Килба, связывающей характеристическую вязкость полимера с количеством разветвляющих центров и их функциональностью, была произведе-

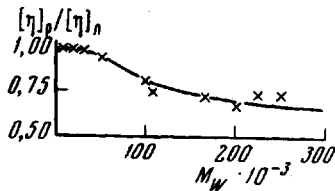


Рис. 3. Зависимость разветвленности полимера 2 от молекулярного веса

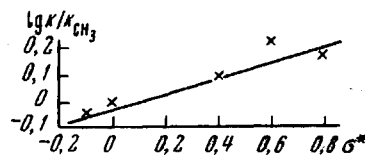
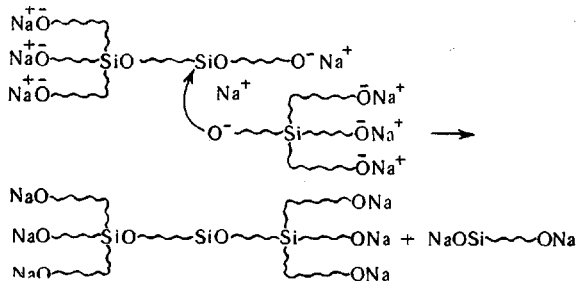


Рис. 4. Зависимость $\lg k$ от полярной константы σ^* . $[\eta] = 0,93$, $\rho = 0,43$

на оценка числа трех- и четырехфункциональных разветвляющих центров в синтезированных им полимерах. Отношение $[\eta]_{\text{разветвл}} / [\eta]_{\text{линей}}$ составляет для полимера 1 величину 0,940 (теоретическое значение 0,955), для полимера 2—0,934 (теоретическое значение 0,914). Таким образом, экспериментальное понижение вязкости разветвленных полимеров относительно линейного полимера того же молекулярного веса хорошо согласуется с теоретическими величинами, рассчитанными для полимеров, молекулы которых имеют в среднем один трифункциональный или четырехфункциональный центры ветвления, что является доказательством звездообразного строения полимера. Поскольку метод оценки разветвленности полимера по понижению характеристической вязкости относительно линейного полимера того же молекулярного веса нечувствителен к очень коротким боковым цепям, эти данные свидетельствуют также о том, что все ветви разветвленной цепной макромолекулы сравнимы между собой по величине, и полимер действительно состоит из звездообразных макромолекул.

Экспериментальные данные, полученные при фракционировании полимера 2, имеющего четырехфункциональные центры ветвлений, показывают также, что разветвленность отдельных фракций постепенно увеличивается по мере роста молекулярного веса и размеров макромолекул. На рис. 3 представлены результаты расчета разветвленности фракций.

Постепенное увеличение разветвленности макромолекул при увеличении их молекулярного веса можно объяснить наличием реакций межцепного взаимодействия (реакция передачи цепи). Схематически реакцию передачи цепи можно изобразить следующим образом:



Наличие реакции передачи цепи подтверждается также образованием нерастворимого полимера при глубоких степенях превращения в ходе

реакции полимеризации ОМЦТС в присутствии многоцентровых инициаторов.

Исследование полимеризации смешанных метил(арил)циклосиликсанов при действии нуклеофильных катализаторов показало, что органические группы, обрамляющие цикл, оказывают влияние на скорость реакции. Это влияние связано с индукционным эффектом обрамляющей группы у кремния. Введение электронодонорных заместителей замедляет процесс полимеризации, а электроноакцепторных — ускоряет его (табл. 1).

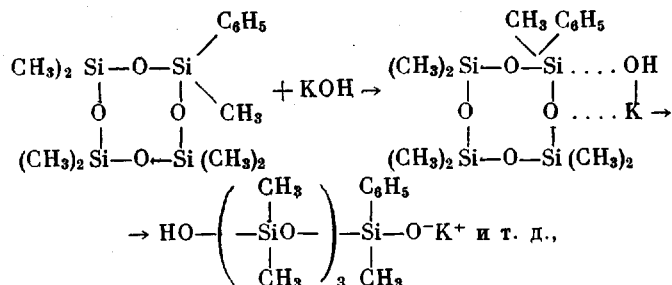
Таблица 1

Влияние индукционного эффекта заместителей в органоциклоэпоксилоксанах на скорость полимеризации

Формула	$k \cdot 10^8,$ мин^{-1}	$\frac{k}{k_{\text{CH}_3}}$	$\frac{k}{\lg k_{\text{CH}_3}}$	σ^*	$E, \text{ ккал/моль}$
$[(\text{CH}_3)_2\text{SiO}]_4$	4,58	1	0	0	19,60
$[(\text{CH}_3)_2\text{SiO}]_2\text{SiO}$ CH ₃ C ₆ H ₅	4,09	0,89	-0,0491	-0,1	—
$[(\text{CH}_3)_2\text{SiO}]_2\text{SiO}$ CH ₃ CH=CH ₂	5,55	1,24	0,094	0,4	—
$[(\text{CH}_3)_2\text{SiO}]_2\text{SiO}$ CH ₃ C ₆ H ₅ Cl	6,97	1,52	0,1822	0,8	18,91
$[(\text{CH}_3)_2\text{SiO}]_2\text{SiO}$ CH ₃ C ₆ H ₅	7,79	1,70	0,2304	0,6	17,85

рис. 4). Между константой скорости полимеризации циклов и индукционным эффектом заместителей у кремния имеется зависимость, которая описывается уравнением Гаммета — Тафта $\lg \frac{k}{k_0} = \sigma^* \rho^*$; ρ^* (для KOH при 120°) равно 0,41. Это указывает на чувствительность реакции полимеризации цикла к введению донорноакцепторных заместителей при атоме кремния.

При полимеризации смешанных метил(арил)цикlosилоксанов было найдено, что процесс полимеризации циклов идет не только по схеме



но и сопровождается реакцией, приводящей к разветвлению молекулы полимера. Установленная выше передача цепи с разрывом для ОМЦТС при полимеризации с многоцентровым инициатором не могла бы привести к разветвлению полимера; в данном случае, следовательно, это связано с реакцией передачи цепи растущей макромолекулы, отличной от рассмотренной выше.

Для выяснения причин, связанных с появлением реакции передачи при полимеризации смешанных метил(фенил)цикlosилоксанов состава

$[(\text{CH}_3)_2\text{SiO}]_n[\text{Si}(\text{CH}_3)(\text{C}_6\text{H}_5)\text{O}]_{4-n}$, была изучена реакция анионной полимеризации циклов ($n = 1, 2, 3$) с различными катализаторами, такими, как $\text{HO}[\text{Si}(\text{CH}_3)(\text{C}_6\text{H}_5)\text{O}]_n\text{M}$, где $\text{M} = \text{Na}, \text{K}, \text{Cs}, -\text{N}(\text{CH}_3)_4$. Во всех случаях при достижении высокой степени полимеризации цикла имеет место структурирование полимера (табл. 2). Было высказано предположение, что реакция передачи цепи растущей молекулы на другую молекулу связана со срывом фенильной группы у атома кремния. Такая реакция передачи цепи может быть вызвана появлением в цепи полимера группи-

Таблица 2
Влияние катализаторов на скорость образования структурированного полимера при полимеризации органических циклотрасилоксанов *

Мономер	Катализатор, 0,03%	Температура, °C	Время реакции, мин.
$\begin{array}{c} \text{C}_6\text{H}_5 \quad \text{CH}_3 \\ \qquad \diagdown \\ [\text{Si}(\text{CH}_3)_2\text{O}]_2\text{SiO} \end{array}$	$\begin{array}{c} \text{CH}_3 \\ \\ (\text{CH}_3)_4\text{NO}(\text{SiO})\text{N}(\text{CH}_3)_4 \\ \\ \text{C}_6\text{H}_5 \end{array}$	80	7
$\begin{array}{c} \text{CH}_3 \\ \\ \text{Si}(\text{CH}_3)_2\text{O}-[\text{SiO}]_2- \\ \\ \text{CH}_3 \end{array}$	То же	80	10
$[\text{Si}(\text{CH}_3)_2\text{O}]_4$	$\text{HO}[\text{Si}(\text{CH}_3)\text{C}_6\text{H}_5\text{O}]_n\text{Cs}$	140	Немедленно
То же	$\text{HO}[\text{Si}(\text{CH}_3)\text{C}_6\text{H}_5\text{O}]_n\text{K}$	140	7
» »	$\text{HO}[\text{Si}(\text{CH}_3)\text{C}_6\text{H}_5\text{O}]_n\text{N}(\text{CH}_3)_4$	140	10
» »	$\text{HO}[\text{Si}(\text{CH}_3)\text{C}_6\text{H}_5\text{O}]_n\text{Na}$	140	120

* Все полученные полимеры нерастворимы.

ровок такой структуры $\sim \text{Si} \begin{array}{c} \text{CH}_3 \\ | \\ \text{CH}_3 \end{array} - \text{O} \begin{array}{c} \text{C}_6\text{H}_5 \\ | \\ \text{CH}_3 \end{array} \text{Si}^+ \text{O} - \text{Si} \begin{array}{c} \text{CH}_3 \\ | \\ \text{CH}_3 \end{array}$. Такая группировка может

служить местом атаки нуклеофила на кремний и передачи цепи со срывом фенильной группы.

Для проверки этого положения была осуществлена полимеризация ОМЦТС в присутствии $\text{NaO} \left(\begin{array}{c} \text{C}_6\text{H}_5 \\ | \\ \text{SiO} \\ | \\ \text{CH}_3 \end{array} \right)_n \text{H}$ ($n = 8, 15$), чтобы обеспечить воз-

можность образования в полимере группировок $\text{Si} \begin{array}{c} \text{CH}_3 \\ | \\ \text{CH}_3 \end{array} - \text{O} \begin{array}{c} \text{C}_6\text{H}_5 \\ | \\ \text{CH}_3 \end{array} \text{Si}$. В этом

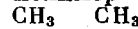
случае также имело место структурирование полимера. В то же время при полимеризации тетраметилтетрафенилциклотрасилоксана или изомеров триметилтрифенилциклотрасилоксана (ТМТФТС) в присутствии инициа-

торов $\text{MO} \left[\begin{array}{c} \text{C}_6\text{H}_5 \\ | \\ \text{Si} \\ | \\ \text{CH}_3 \end{array} \right]_n \text{H}$ структурирования не наблюдалось, так как при вклю-

чении инициатора в полимерную цепь образовались группировки струк-

туры $\text{Si} \begin{array}{c} \text{C}_6\text{H}_5 \\ | \\ \text{CH}_3 \end{array} - \text{O} \begin{array}{c} \text{C}_6\text{H}_5 \\ | \\ \text{CH}_3 \end{array} - \text{Si}$ и передача цепи не имела места. То же самое

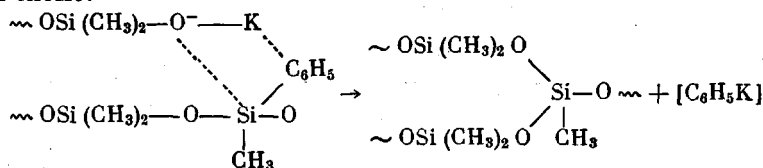
наблюдалось при полимеризации ОМЦТС инициаторами $K-O-[Si(CH_3)_2O]_nH$, когда весь полимер с включенным в него инициатором



состоял только из звеньев $\begin{array}{c} | \\ Si-O-Si-O \\ | \\ CH_3 \quad CH_3 \end{array}$. В этом случае получались эла-

стомеры, хорошо растворимые в обычных органических растворителях.

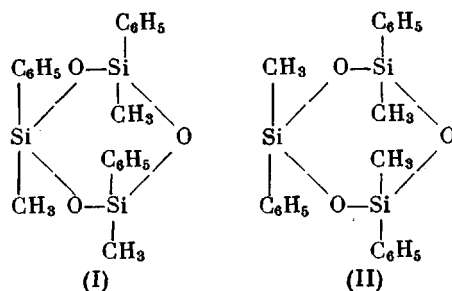
Реакция передачи цепи, приводящая к разветвлению и структурированию полимера, вероятно, связана с атакой аниона концевой группы реагирующей цепи на атом кремния и срывом фенильной группы по возможной схеме:



Фенилкалий в этих условиях немедленно реагирует, и время жизни его, вероятно, чрезвычайно мало. Весьма интересным было также выяснение влияния стерических эффектов на процесс анионной полимеризации органоциклоксилоксанов. При исследовании полимеризации смеси стереоизомеров тетраметилтетрафенилциклотрасилоксанов и ТМТФТС в присутствии таких пространственно трудных инициаторов, как α,ω -тетраметиламмонийтетраметилдисилоксан $(CH_3)_4NO-[Si(CH_3)_2O]_2N(CH_3)_4$ и α -окси- ω -тетраметиламмонийметилфенилполисилоксан $HO[Si(CH_3)(C_6H_5)O]_8\cdot N(CH_3)_4$ и $KO[Si(CH_3)(C_6H_5)O]_{26}H$, было найдено, что полимеризация тетраметилтетрафенилциклотрасилоксана с тетраметиламмонийтетраметилдисилоксаном протекает медленно и достигает равновесия, когда полимер не достигает высоковязкой системы. Полимеризация смеси изомеров триметилтрифенилциклотрисилоксана протекает также медленно.

Различие в скорости полимеризации шести- и восьмичленных циклов с метилфенильным обрамлением зависит, вероятно, не только от напряженности этих циклов, что связано с конформационными эффектами обрамляющих групп, но также и со стерическим эффектом этих групп.

Для подтверждения этого положения нами были выделены стереоизомерные формы ТМТФТС и исследована их полимеризация. ТМТФТС имеет два стереоизомера — *цикло*-изомер с т. пл. $99,5^\circ$ (I) и *транс*-изомер с т. пл. -40° (II).



Оказалось, что эти два изомера имеют совершенно различную активность в реакциях полимеризации. Скорость реакции *цикло*-изомера больше и молекулярный вес образующегося полимера в несколько раз больше, чем у полимера *транс*-изомера (табл. 3).

При полимеризации *цикло*-изомера триметилтрифенилциклотрисилоксана получаются высокомолекулярные полимеры с характеристической вязкостью $0,7-0,9$, а полимеризация *транс*-изомера и смеси изомеров приводит к получению полимера с малой вязкостью.

При применении других инициаторов полимеризации ТМТФТС наблюдается аналогичный результат (табл. 4).

Интересным оказалось наблюдение [4], сделанное при помощи метода двойного лучепреломления в потоке, что оптическая анизотропия полимера, полученного из цис-ТМТФТС, сильно отличается от анизотропии транс-изомера и смеси изомеров тетраметилтетрафенилциклотрасилоксанов. Средняя разность поляризуемости звена цепи метилфенилсилооксана опре-

Таблица 3

**Влияние строения изомеров метилфенилциклооксиков на величину характеристической вязкости
(Катализатор — $\text{KO}[\text{Si}(\text{CH}_3)(\text{C}_6\text{H}_5)\text{O}]_{26}\text{H}$)**

Мономер	[n]
цис-ТМТФТС	0,73—0,99
транс-ТМТФТС	0,10
Тетраметилтетрафенилциклотрасилоксан	0,12

Таблица 4

**Полимеризация циклооксиков в присутствии 0,03% катализатора
 $\text{HO} - [\text{Si}(\text{C}_6\text{H}_5)(\text{CH}_3)\text{O}]_n \text{N}(\text{CH}_3)_4$ при 80°**

Мономер	n катализа- тора	Время поли- меризации, мин.	Выход поли- мера, %	Мол. вес
ТМТФТС (смесь изомеров)	15	20	26	62 000
транс-ТМТФТС	8	20	29	49 000
То же	11	20	36,8	42 000
» »	15	30	31,9	38 900
цис-ТМТФТС	11	20	75,5	185 800
То же	15	30	78,5	269 200

Таблица 5

**Полимеризация циклотрасилоксанов в присутствии катализатора
 $\text{HO}[\text{Si}(\text{CH}_3)(\text{C}_6\text{H}_5)\text{SiO}]_8\text{K}$**

Мономер	Время полимериза- ции, мин.	Мол. вес
Тетраметилтетрафенилциклотрасилоксан*	30	69 200
2,4,6',8'-Тетраметил-2',4',6,8-тетрафенилцикло- тетрасилоксан	40	164 000
2,4,6,8-Тетраметил-2',4',6,8-тетрафенилцикло- тетрасилоксан	30	214 000
2,4',6,8-Тетраметил-2',4,6'',8-тетрафенилцикло- тетрасилоксан	50	31 100

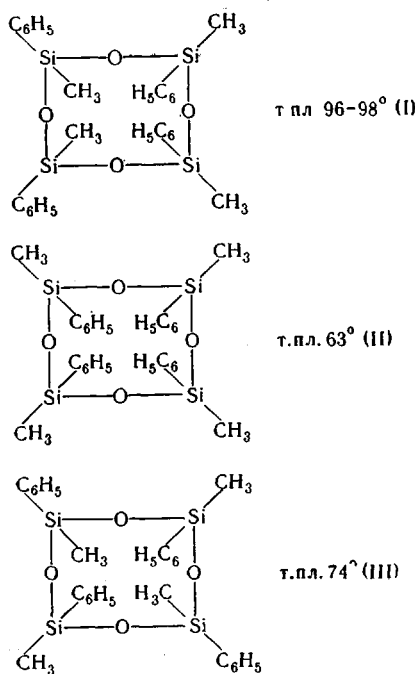
* Полимеризацию проводили в присутствии $\text{HO}[\text{Si}(\text{CH}_3)(\text{C}_6\text{H}_5)\text{O}]_8\text{N}(\text{CH}_3)_4$.

деляется только долей, вносимой анизотропией боковой группы; анизотропия $\text{Si}-\text{O}-\text{Si}$ мала, причем отрицательное значение определяется группой C_6H_5 . Отрицательная анизотропия Δa для 100%-ного транс-полиметилфенилсилооксана равна в декалине тетралине $(a_1 - a_2) \cdot 10^{25} = -52$, а для цис-полимера — 80,84.

Величина ($\alpha_1 - \alpha_2$) зависит от жесткости основной цепи и от оптической анизотропии мономерной единицы ($\alpha_1 - \alpha_2 = S\Delta a$, где S — жесткость, Δa — свойство мономера).

Независимые величины S не определялись, поэтому утверждать различие полученных данных изменением только S или только Δa невозможно. Однако, безусловно, можно предположить, что решающую роль играет изменение Δa , а не жесткость цепи S , так как известно, что стереорегулярность цепей, а также замена части метильных радикалов на фенильные очень слабо влияет на жесткость цепи. У *цикло*-полимера анизотропия увеличена по сравнению с *транс*-изомером в 1,5 раза. Следовательно, можно сделать вывод, что при полимеризации *цикло*-ТМТФС не происходит обращения конфигурации цикла и полученный полимер имеет явно выраженную стереорегулярность.

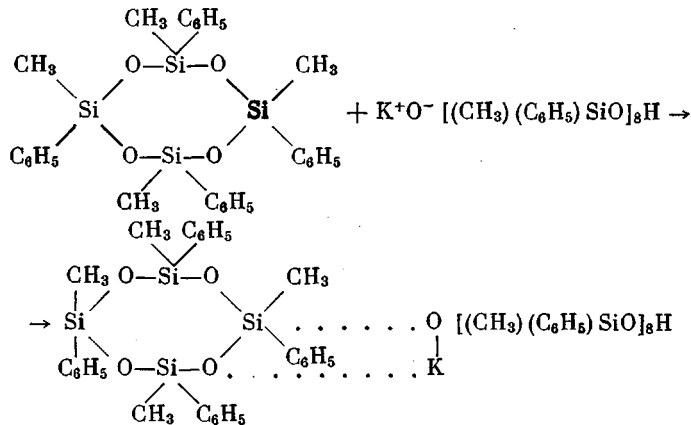
Исследование ионной полимеризации трех стереоизомеров тетраметилтетрафенилциклотрасилоксанов



в присутствии 0,03% $\text{HO}[\text{Si}(\text{CH}_3)(\text{C}_6\text{H}_5)\text{O}]_8\text{K}$, обеспечивающего гомогенный катализ при 140°, показало большое различие их реакционной активности. В данной реакции в указанных условиях более активными оказались 2,4,6',8'-тетраметил-2',4',6,8-тетрафенилциклотрасилоксан (I) и 2,4,6,8-тетраметил-2',4'6,8-тетрафенилциклотрасилоксан (II) (табл. 5, рис. 4).

Изомер I в вышеописанных условиях за 40 мин. превращался в полимер с вязкостью $\eta_{\text{уд}} = 0,24$ (рис. 5, кривая 1) и средним молекулярным весом 164 000. Изомер II за 30 мин. полимеризации превращался в полимер с $\eta_{\text{уд}} = 0,25$ и молекулярным весом 214 000 (рис. 5, кривая 2). Из изомера III (2,4',6,8-тетраметил-2',4',6',8-тетрафенилциклотрасилоксан) при полимеризации в течение 50 мин. образовался полимер с $\eta_{\text{уд}} = 0,08$ (рис. 5, кривая 3) и средним молекулярным весом 31 100. Такое различие в активности ионной полимеризации стереоизомеров фенилметилциклотрасилоксанов можно понять, если рассмотреть механизм реакции раскрытия неорганических циклов разного строения, обрамленных органическими группами, при действии нуклеофильных катализаторов.

Известно, что реакция полимеризации циклов протекает через образование переходного комплекса — раскрытие цикла с образованием частицы с активным реакционным центром. В общем виде реакция может быть выражена следующей схемой:



И. Т. Д.

Из приведенной схемы видно, что стереоизомеры, у которых положение фенильных групп создает более благоприятные стерические условия

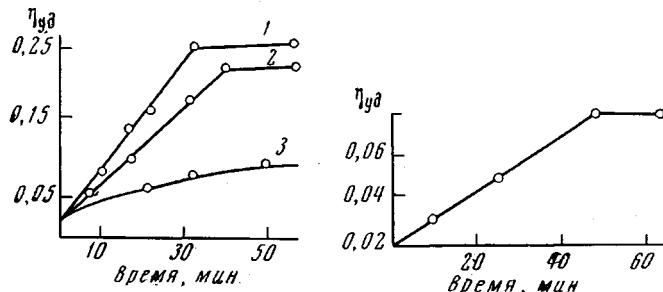


Рис. 5. Полимеризация изомеров тетраметилтетрафенилциклотетрасилоксана. Полимеры I (1), II (2) и III (3)

Фиг. 6. Полимеризация смеси изомеров тетраметилтетрафенилциклотрасилоксана

для взаимодействия с катализатором или, что особенно важно, с активной частицей растущей молекулы, полимеризуются легче и образуют полимеры с большим молекулярным весом (табл. 5).

При полимеризации смеси изомеров тетраметилтетрафенилциклотетрасилоксана (фракция с т. кип. 240—270°/3 мм) в указанных условиях получен полимер с $\eta_{уд} = 0,08$ (рис. 6) и средним мол. весом 31 000. При

Таблица 6

Дробное фракционирование полиметилфенилсилоксана, полученного из смеси изомеров тетраметилтетрафенилциклотетрасилоксанов

Фракция	Выход фракции, %	η _{уд}	η _{уд} переосажденного полимера	Мол. вес (в метилэтилкетоне)
I	2,0	0,48	0,49	592 900
II	3,7	0,23	0,23	175 400
III	40,0	0,09	0,11	53 830
IV	44,3	0,046	0,051	14 660

Таблица 7
Сополимеризация *цис*- и *транс*-ТМТФТС

Катализатор	Соотношение изомеров		$\eta_{уд}$		Мол. вес после осаждения
	<i>цис</i> -	<i>транс</i> -	до осаждения	после осаждения	
$\begin{array}{c} \text{CH}_3 \\ \\ \text{HO}(\text{SiO})_n\text{Na} \\ \\ \text{C}_6\text{H}_5 \end{array}$	1	0	0,57	0,73	1148 000
	1	0,05	0,51	0,63	976 800
	1	0,5	0,12	0,14	95 400
$\begin{array}{c} \text{CH}_3 \\ \\ \text{HO}(\text{SiO})_n(\text{CH}_3)_4 \\ \\ \text{C}_6\text{H}_5 \end{array}$	1	0	0,12	0,3	262 400
	1	0,5	0,08	0,13	70 300
	1	1	0,08	0,11	53 800

фракционировании этого полимера из бензольного раствора метанолом были получены четыре фракции (табл. 6).

Из приведенных данных видно, что смесь изомеров полимеризуется с образованием преимущественно полимеров с низким молекулярным весом. Из продукта полимеризации удается выделить только 6% высокомолекулярной фракции полимера, остальная часть (85%) — низкомолекулярная.

Влияние соотношения *цис*- и *транс*-изомеров ТМТФТС на величину среднего молекулярного веса полимера видно из табл. 7 и рис. 7.

Для подтверждения влияния пространственно трудных обрамляющих групп на анионную полимеризацию органоциклосилоксанов были синтезированы циклические соединения общей формулы $(\text{RR}'\text{SiO})_n$, где $n = 3, 4$; $\text{R} = \text{CH}_3$, $\text{R}' = \text{C}_6\text{H}_{13}^-$; $\text{C}_8\text{H}_{17}^-$; $\text{C}_9\text{H}_{19}^-$; $\text{C}_{10}\text{H}_{21}^-$, где использованы пространственно трудные радикалы с гибкой цепью.

Опыты полимеризации указанных циклических соединений в присутствии KOH при различных температурах вплоть до 280° не привели к получению полимеров. Взятые для полимеризации шести- и восьмичленные циклические соединения оставались после прогрева без заметных изменений. Не удалось заполимеризовать при 200° с 0,15—1% KOH восьмичленный цикл такой структуры

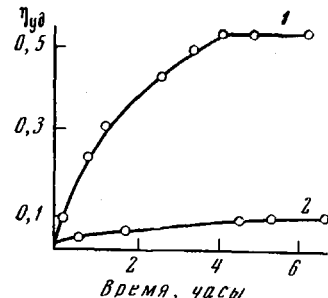
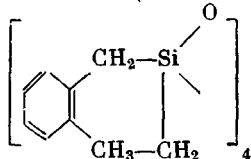
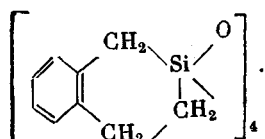


Рис. 7. Полимеризация изомеров ТМТФТС: 1 — *цис*-изомер; 2 — *транс*-изомер

Приведенные примеры показывают, что влияние групп, обрамляющих атом кремния, очень велико и при наличии пространственно трудных групп реакция анионной полимеризации не идет. Следующие соединения не полимеризуются при 250 — 280° в присутствии 0,5—1% едкого кали:



Полимеризация полициклических соединений — органоциклосиллесквиоксанов

При полимеризации продуктов гидролиза фенилтрихлорсилана в присутствии щелочи был получен высокомолекулярный полифенилсиллесквиоксан [5] с лестничной структурой молекул. Позднее был получен смешанный полифенил(алкил)силлесквиоксан [6]. При проведении полимеризации октафенилциклосиллесквиоксана ($C_6H_5SiO_{1,5}$)₈, выделенного экстрагированием хлористым метиленом в аппарате Сокслета из нерастворимого в бензole продукта гидролиза фенилтрихлорсилана, идентифицированного по данным анализа и пластинчатой хроматографией на Al_2O_3

(проявитель иод), было установлено, что он образует полифенилсиллесквиоксан с высоким молекулярным весом [7]. Изучение двойного лучепреломления в потоке, диффузии и седиментации фракции полифенилсиллесквиоксана с молекулярным весом от 20 000 до $2,5 \cdot 10^6$ показало большое значение экспоненты a в уравнении $[\eta] = KM^a$ ($a = 0,88$), что связано с большой жесткостью цепей молекул. Разность поляризуемостей мономерного звена полимера оказалась вдвое большее анизотропии мономерного звена линейного полифенилсилоксана, что соответствует двухцепенному строению лестничного полимера в соответствии с приведенной ниже схемой реакции и рис. 8.

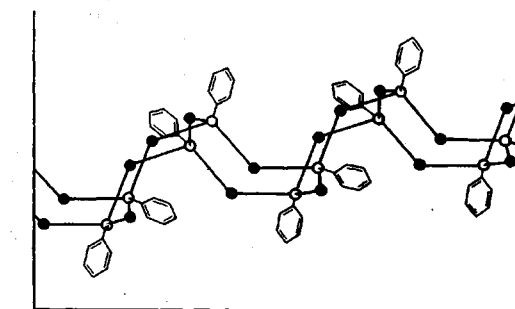
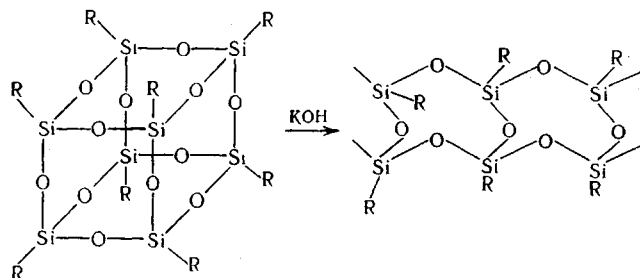


Рис. 8. Структура цепей полифенилсиллесквиоксана

мерного звена полимера оказалось вдвое больше анизотропии мономерного звена линейного полифенилсилоксана, что соответствует двухцепенному строению лестничного полимера в соответствии с приведенной ниже схемой реакции и рис. 8.



При изучении полимеризации алкилциклосиллесквиоксанов общей формулы $(RSO_{1,5})_8$, где $R = C_4H_9, C_6H_{13}, C_8H_{17}, C_9H_{19}$ и др., было найдено большое различие в активности алкилциклосиллесквиоксанов при анионной полимеризации (1% KOH в дитолилметане при 250°).

Алкилциклосиллесквиоксаны с $R = C_4H_9, C_6H_5$ полимеризуются с образованием полимеров с лестничной структурой молекул, а алкилцикло-

Таблица 8
Полимеризация высших алкилциклосиллесквиоксанов при 250°

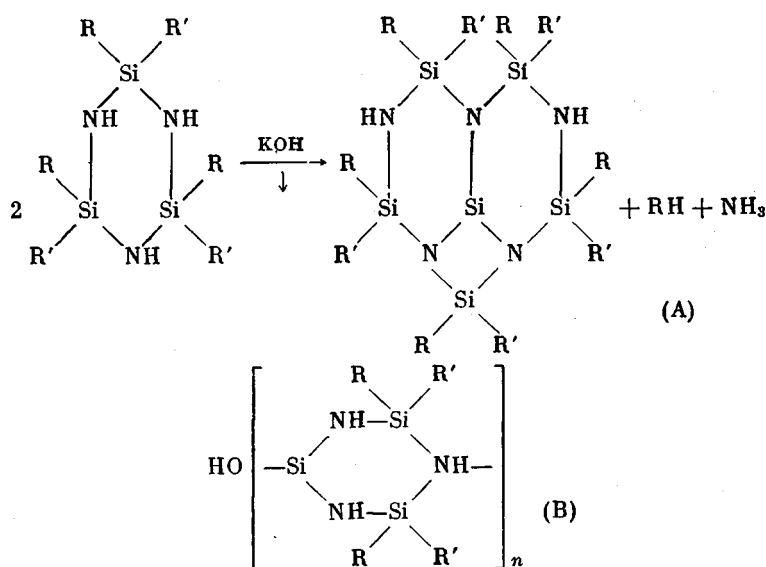
Соединение	Катализатор KOH, %	Продукт реакции
$(n-C_6H_{13}SiO_{1,5})_8$	0,5—1	Не полимеризуется
$(C_2H_{15}SiO_{1,5})_8$	0,5—1	То же
$(iso-C_6H_{17}SiO_{1,5})_8$	0,5—1	» »
$(iso-C_9H_{19}SiO_{1,5})_8$	0,5—1	» »
$(C_6H_5SiO_{1,5})_8$	0,5	Полимер с характеристической вязкостью 1,0

силлесквиоксаны с $R = C_6H_{13}$, C_7H_{15} , *изо*- C_9H_{19} не полимеризуются в указанных условиях. Такое различие в реакциях анионной полимеризации можно объяснить, вероятно, только стерическими затруднениями. Интересно отметить, что имеет место определенная связь между размером органического радикала у кремния и полимеризацией алкилциклоксилисквиоксанов. В табл. 8 приведены алкилциклоксилисквиоксаны и их реакционная способность в анионной полимеризации.

Полимеризация органоциклоксилиазанов

Реакция органоциклоксилиазанов с нуклеофильными реагентами была изучена на примере диметилциклоксилиазанов [8] и метилфенилциклоксилиазанов [9]. Она сопровождается выделением метана или бензола в зависимости от исходного цикла и образованием высокоплавких полимеров циклической структуры [9]. Для изучения общих закономерностей этой реакции нами был взят ряд диалкилциклоксилиазанов общей формулы $[RR'SiNH]_n$ (где $n = 3, 4$; $R = CH_3, C_2H_5$; $R' = C_2H_5, C_4H_9, C_6H_{13}, C_9H_{19}$), который интересен тем, что позволяет проследить влияние величины органического радикала на реакционную способность этих соединений и свойства получаемых продуктов.

Проведенное исследование показало, что метилэтил-, метилбутил-, метилгексил- и диэтилциклоксилиазаны вступают во взаимодействие с KOH или C_2H_5Na при относительно высокой температуре. Если в случае диметилциклоксилиазанов выделение метана и аммиака начинается при температуре, близкой к 100° , то указанные выше соединения реагируют с образованием этих же продуктов при 250° и выше, причем реакция через 10—15 час. затухает и повышение температуры до 300° и выше не приводит к сколько-нибудь значительному выделению газообразных продуктов. Из реакционной смеси были выделены соединения общей формулы $R_6R_5'Si_6N_2(NH)_2$ (где $R = CH_3, C_2H_5$, $R' = C_2H_5, C_4H_9, C_6H_{13}$), свойства которых приведены в табл. 9. Образование этих соединений протекает по схеме:



По-видимому, здесь, как и в случае диметильных циклов [1], сначала образуется переходный комплекс со щелочью, который распадается с образованием углеводорода и отрицательно заряженного иона. Затем этот ион атакует нейтральную молекулу цикла с разрывом Si—N-связи с последующей циклизацией в продукт А, в результате чего выделяется молекула аммиака и регенерируется молекула щелочи. Общее количество

уловленного аммиака соответствует тому, которое должно выделяться в результате этой реакции (табл. 10), однако количество метана значительно превышает рассчитанное по этому уравнению. Отсюда можно предположить, что наряду с приведенной реакцией имеет место полимеризация без раскрытия цикла с образованием более высокомолекулярных олигоме-

Таблица 9

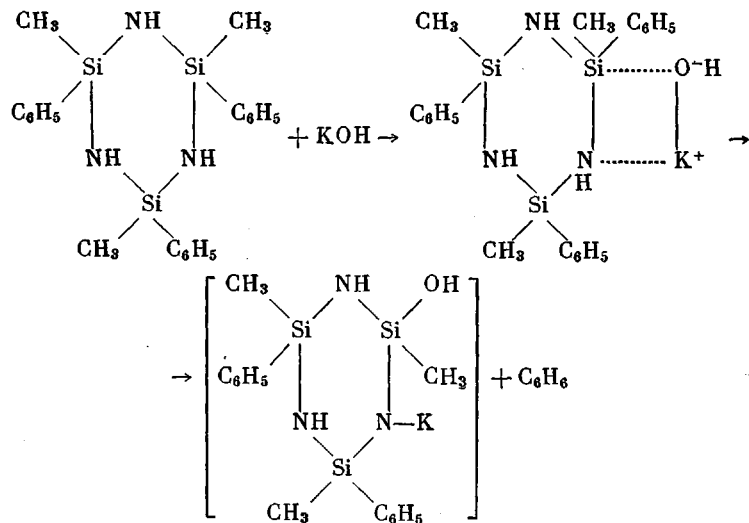
Выход метана и аммиака в процессе полимеризации органоцикlosилазанов

Соединение	T, кип., °C/мм	n_D	d_4^{20}	M_{RP}		Выход, %
				вычислено	найдено	
$(C_6H_5)_6(CH_3)_5Si_6N_3(NH)_2$	150—152/1	1,4869	1,0044	140,67	140,27	52,5
$(C_6H_5)_6(CH_3)_5Si_6N_3(NH)_2$	219—224/1	1,4786	0,9586	194,23	194,57	46,0
$(C_6H_{13})_6(CH_3)_5Si_6N_3(NH)_2$	249—254/1	1,4790	0,9441	249,79	248,26	47,5
$(C_6H_5)_6(C_2H_5)_5Si_6N_3(NH)_2$	191—191,5/1*					

* Т. пл. 41,5—42,5.⁰

ров (продукт В). Химическая инертность продукта А в чистом виде при действии на него катализитических количеств щелочи указывает на то, что образование олигомеров происходит не через этот продукт, а по механизму, предложенному ранее [8, 9].

Изучение процесса анионной полимеризации диметил- и фенилметилцикlosилазанов позволило установить другой механизм превращения органоцикlosилазанов в полимеры при действии нуклеофильных реагентов, чем у органоцикlosилоксанов. Оказалось, что образование полимеров при действии катализитических количеств щелочей на цикlosилазаны проходит не через размыкание циклов. Вероятно, под действием щелочи проходит координация гидроксила с атомом кремния по реакции:



В образующемся переходном комплексе в результате перераспределения электронной плотности ослабляется одна из связей атома кремния, и, как показывает опыт, это не связь Si—N, а связь Si—C, в результате чего отщепляется метан с образованием аниона.

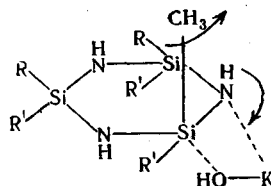
Дальнейший процесс протекает через координацию ионов цикlosилазанов с цикlosилазаном.

Полученные из триметил(фенил)циклотрисилазана полимеры имеют нитеобразную или разветвленную структуру молекул. В начале реакции,

т. е. при неглубокой степени полимеризации, состав их соответствует звену цепи полимера, указанному в схеме реакции. Дальнейшая полимеризация приводит к повышению температуры стеклования полимера (табл. 11), а структура последнего находится в прямой зависимости от количества выделившегося бензола.

В случае восьмичленных циклов реакция осложняется перегруппировкой этого цикла в шестичленный. Так, при взаимодействии тетраметилтетраэтилциклотетрасилазана с KOH в продуктах реакции было найдено 19% триметилтриэтилциклотрисилазана, 55% гексаэтилпентаметилтрициклогексасилазана и 26% олигомеров.

Скорость выделения метана при переходе от метилэтильных циклов к метилгексасильным при 250° падает (рис. 9), что, по-видимому, обусловлено пространственным эффектом. Триметилтрионийциклотрисилазан не реагирует даже при температурах выше 300°. В случае гексаэтилциклотрисилазана выделение газообразных продуктов с заметной скоростью начинается при температуре, близкой к 300°. Такую низкую реакционную способность исследованных соединений по сравнению с диметильными циклосилазанами трудно объяснить пространственным экранированием Si—N-связи алифатическими радикалами. Возможно, что в данном случае существенную роль играет существование диалкилциклосилазанов в тех или иных геометрически различных конформациях и их взаимный переход друг в друга. Структура переходного комплекса также связана с определенной конформацией циклической части молекулы, например плоской, где синхронный электронный переход, приводящий к разрыву некоторых связей и образованию новых связей, наиболее вероятен:



Увеличение органического радикала у атома кремния будет стабилизировать конформацию исходного циклосилазана, тем самым затрудняя его переход в активированное состояние. Это, по-видимому, и приводит при замене метильной группы в гексаметилциклосилазане на этильную, бутильную и другие, к такому резкому падению химической реакционной способности.

Таблица 10
Свойства органоциклосилазанов

Исходное вещество	Количество выделившегося углеводорода, $M_{RH}/M_{\text{исх. циклов}}$	Количество выделившегося аммиака, $M_{NH_3}/M_{\text{исх. циклов}}$	Количество выделившегося аммиака, $M_{NH_3}/M_{\text{прод. А}}$
$[(CH_3)_2C_2H_5SiNH]_3$	0,79	0,36	0,96
$[(CH_3)_2C_4H_9SiNH]_3$	0,69	0,22	0,97
$[(CH_3)_2C_6H_{13}SiNH]_3$	0,52	0,30	1,1
$[(C_2H_5)_2SiNH]_3$	0,53	0,17	1,1

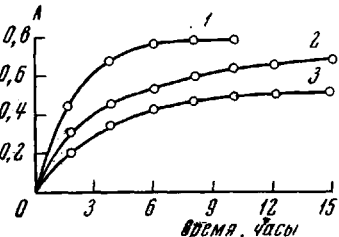


Рис. 9. Количество выделившегося метана в молях на моль исходного цикла:

1 — $[(CH_3)_2C_2H_5SiNH]_3$; 2 — $[(CH_3)_2C_4H_9SiNH]_3$; 3 — $[(CH_3)_2C_6H_{13}SiNH]_3$. А — $M_{CH_4}/M_{\text{исх. циклов}}$

Высокая температура реакции диэтильных циклов, объясняется, кроме того, увеличением энергии разрыва S—C-связи вследствие электроно-донорных свойств этильной группы по сравнению с метильной.

Для подтверждения структуры продуктов полимеризации, приведенных в табл. 9, снимали ИК-спектры этих соединений. Была найдена полоса поглощения 900 см^{-1} , отсутствующая у исходных циклов и которую, по-видимому, можно отнести к валентным колебаниям Si—N-связи в четырехчленном цикле. Значительно уменьшается интенсивность полосы 3400 см^{-1} , характерной для валентных колебаний N—H-связи, чего и сле-

Таблица 11

Полимеризация trimethyltrifenylicyclotrisilazana

Температура реакции, °С	Продолжительность реакции, часы	Температура стеклования полимера, °С	Количество выделившегося бензола, моли на моль исходного цикла
200	2,5	137	1,01
280	0,3	86	0,82
280	2,5	182—185	1,28
280	5,0	235	1,46
400	14,0	400	1,86

довало ожидать в соответствии со структурой полученных соединений.

Влияние обрамляющих групп у кремния связано также со стерическим эффектом реакции. Объемные группы такие, как гексил, октил, ионил, затрудняют процесс полимеризации.

Приведенные данные о полимеризации органоцикlosилазанов показывают, что органоцикlosилазаны, в отличие от органоцикlosилоксанов, более склонны к реакциям замещения, чем к реакциям присоединения, т. е. они проявляют некоторые свойства, аналогичные свойствам органических ароматических соединений. Однако ароматичность этих соединений мало похожа на ароматичность органических систем и, по-видимому, сам этот термин в данном случае условен. Электронное распределение в этих молекулах включает отдельные аллильные области, начинающиеся и кончающиеся на атомах кремния, как у фосфонитрильных и боразольных циклов, и энергия делокализации в расчете на электрон плавно увеличивается с увеличением размера цикла. Это приводит к стабилизации связи и изменению частот валентных колебаний в ИК-спектре. В органоцикlosилазанах так же происходит смещение частот валентных колебаний Si—N-связи на $10—15 \text{ см}^{-1}$ при переходе от шести- к восьмичленным циклам в сторону больших частот; полоса поглощения N—H-связи сдвигается в сторону больших частот. Полоса поглощения N—H-связи сдвигается в сторону меньших частот в октаметилцикlotрасилазане по сравнению с гексаметилцикlotрасилазаном. Еще больший сдвиг частот имеет место в алкилсилесквиазанах, где частота асимметричных валентных колебаний Si—N-связи 960 см^{-1} . Закономерное изменение спектров при переходе от шести- к восьмичленным циклам и силесквиазанам является результатом изменения электронной структуры молекул и происходит в соответствии с основными принципами строения гетероаморфных ароматических систем. Ароматические свойства органоцикlosилазанов согласуются также с их гидролитической стабильностью, которая возрастает при переходе от шестичленных к восьмичленным циклам и силесквиазанам.

Выводы

1. Изучена полимеризация органоцикlosилоксанов и органоцикlosилазанов и показано, что органоцикlosилоксаны полимеризуются с раскрытием циклов, а органоцикlosилазаны дают полициклические системы.

2. Установлено, что при полимеризации смешанных органоциклюксилоксанов имеет место не только передача цепи с разрывом, но и передача цепи со срывом фенильной группы от кремния, приводящая к разветвлению молекул полимера.

3. Установлено, что при полимеризации органоциклюксилоксанов и органоциклюксилазанов большое влияние на процесс анионной полимеризации оказывают органические группы у атома кремния. Это влияние связано с индукционным эффектом, но в большей степени — со стерическим эффектом органических групп, связанных с кремнием. Органоциклюксилоксаны и силазаны с высшими алифатическими радикалами не образуют макромолекулярных цепей.

Институт элементоорганических
соединений АН СССР

Поступила в редакцию
3 IV 1968

ЛИТЕРАТУРА

1. W. T. Grub, R. C. Osthoff, J. Amer. Chem. Soc., **77**, 1405, 1955.
2. D. W. Scott, J. Amer. Chem. Soc., **68**, 2294, 1946.
3. R. L. Merker, M. D. Scott, J. Polymer Sci., **43**, 297, 1960.
4. В. Н. Цветков, К. А. Андрианов, Е. Л. Виноградов, С. Е. Якушкина, Ц. Н. Вардосаница, Высокомолек. соед., **59**, 893, 1967.
5. J. F. Brown, L. H. Vogt, A. Katchman, J. W. Eustance, K. M. Kieser, J. Amer. Chem. Soc., **82**, 6194, 1960.
6. К. А. Андрианов, Н. Н. Макарова, Изв. АН СССР, серия химич., 1969, 625.
7. К. А. Андрианов, Г. А. Кураков, Ф. Ф. Сущенцова, В. А. Мягков, В. А. Авилов, Докл. АН СССР, **166**, 855, 1966.
8. К. А. Андрианов, Г. Я. Румба, Высокомолек. соед., **4**, 1010, 1962.
9. К. А. Андрианов, Г. В. Котрелев, Высокомолек. соед., **6**, 691, 1964.

ABOUT POLYMERIZATION OF ORGANOSILICON CYCLIC COMPOUNDS

K. A. Andrianov

Summary

Mechanism of anionic polymerization of organocyclosiloxanes and organocyclosiloza-nes has been considered. Polymerization of the latter proceeds without ring opening and results in polycyclic polymers unlike organocyclosiloxanes. Polymerization of mixed organocyclosiloxanes is accompanied not only by chain transfer with chain scission but also by rapture of phenyl groups from silicon resulting in branching of the polymer. Organocyclosiloxanes and siloxanes with higher alifatic radicals do not form macromolecules.
